

## ANTALYA'NIN ZEMİN SORUNLARI VE JEOFİZİK YÖNTEMLERLE ÇÖZÜMLERİ

### The Ground Problems of Urban Area in Antalya and Their Resolutions by Means of Geophysical Methods

A. Ergün TÜRKER\*, D. Ali KEÇELİ\*, Züheyr KAMACI\* ve M. Ali KAYA\*

#### ÖZET

Antalya kenti zemini travertenlerle kaplıdır. Daha önce burada çalışanlar jeolojik görüşlerini ortaya koymışlardır. Bu çalışmalarla göre, sahil kenarındaki travertenlerde birçok kırıklär, faylar, alterasyon zonları ve mağaralar bulunmaktadır. Bu alanın çok karmaşık ve heterojen bir yapısı vardır. Böyle ortamlarda inşaat zemininde yapılacak sınırlı sayıdaki mekanik sondaj numunelerine bakarak, zeminin mühendislik özelliklerini ve yapısal durumunu aydınlatmak olası değildir. Yalnızca zemin taşıma gücünü küçük almak, hasarı önlemek için yeterli değildir. Bu güçlüğü yemek için, jeolojik yöntemlerden sismik ve elektrik yöntemleri birlikte kullanarak zeminin yapısal durumu, mühendislik özellikleri, taşıma gücü, emniyet gerilmesi ve elastisite parametreleri ile kompleks ve heterojen yapısı tanımlanabilir.

Bilindiği gibi, yeraltısu etkisindeki fay zonlarında genellikle düşen blok diğer bloka göre düşük özdirenç ve yüksek IP gösterir. Oysa kendine özgü jeolojik koşullardan dolayı Antalya'daki travertenlerde düşen bloklar diğer bloklara göre yüksek özdirenç ve düşük IP gösterir. Bu karakteristik özellikler Antalya'da travertenlerin kırık zonlarını tanımlamaya yardımcı olmaktadır. Ayrıca Antalya'daki travertenler mağaralardan dolayı düşük IP ve yüksek özdirenç göstermektedir. Antalya'daki zemin araştırmalarında jeofizik yöntemlerin kullanılması zaman ve parasal kazanç sağlamaktadır.

Antalya'da çok katlı yapılaşma hızla artmaktadır. Gelişen bir kentidir. Birçok zemin sorunu bulunan bu kente ait jeoteknik haritaların bir an önce yapılması zorunludur.

#### ABSTRACT

The ground in Antalya urban area is covered by travertins which have been studied extensively by a number of authors from the geological point of view. According to those studies, travertins near to shore have many fracture, faults, alteration zones and caverns. In some part of the area, it has very complexity and heavy heterogeneity. In such areas, it is not possible to elucidate structural situation and engineering properties of the ground or foundation from drillings and samples in limited number on the construction area and also to use a permissible bearing capacity as a low value does not sufficient to prevent any hazard. In order to overcome this difficulty, seismic and electrical techniques of the geophysical methods should be used because they can determine structural geology, foundation engineering properties, permissible bearing capacity and elastic modulus which cause complexity and heterogeneity of foundation. In a fault zone, it is known that fall down segment generally shows lower apparent resistivity and higher IP parameter than other segment has. But, travertins in Antalya show contrarily higher apparent resistivity and lower IP parameter because of cavern. This is a characteristic properties for determination of travertins fractures zones in Antalya. Our applications show that the geophysical methods is the best one for foundation investigations in Antalya because of its gain of time and financial reason.

Antalya is a town developing quickly with a number of high buildings. For this reason, its geotechnical map should be made by means of geophysical methods.

#### GİRİŞ

Jeofizik mühendisliği uygulamalarında, inşaat mühendislerine verilecek en önemli parametre zemin emniyet gerilmesi ile zeminin elastisite parametreleri ve zemin altının yapısal özellikleridir. Bunun için Antalya travertenlerinde; zemin

emniyet gerilmesini, zeminin elastik parametrelerinin ve temel hafriyatı ile birlikte zeminin sökülebilirliğinin, ayrıca zeminin yapısal durumunun; yani kırıklärın, çatlakların ve fayların, erime boşluklarının ve mağaraların, alterasyon zonlarının ve kılçışmelerin, yeraltı suyu durumunun saptanması gerekmektedir.

\* Akdeniz Üniversitesi, Mühendislik Fakültesi, İsparta.

Bunlardan başka mühendislik yönünden belki de en önemlisi hızla büyüyen şehirdeki atık suların içme suyu olarak kullanılmakta olan yeraltısu yuna karışmasıdır.

Yukarıdaki sorunların bir veya bir kaçının çeşitli zeminlerde bulunabileceği ve jeofizik mühendisliği uygulamalarıyla çözümlendiği bilinmektedir. Ancak Antalya ilindekine benzer şekilde zeminle ilgili pek çok sorunun bir arada olduğu seyrek karşılaşılan bir zemin türüdür. Bu bakımdan Antalya ilindeki zemin sorunlarının daha ziyade jeofizik mühendisliği uygulamalarıyla çözümlenebileceği bu çalışmanın ana konusunu oluşturmaktadır.

## ANTALYA ZEMİNİNİN JEOLOJİK DURUMU

Antalya kentinde zemin travertenlerle kaplıdır. Travertenler Pleistosen devrinin iki buzul dönemi arasında, kalsiyum bikarbonatlı suların kalsiyum karbonatın çökelmesi ile oluşmuştur. Bu travertenler çökelme devrindeki bitkileri sararak çeşitli şekiller oluşturmuşlardır. İçlerindeki bitkiler günümüzde kadar çürümüş olduklarıdan travertenler gözenekli bir görünüm kazanmışlardır. Traverten kalınlıklarının bazı bölgelerde 300 metreye ulaşığı ileri sürülmektedir. Antalya'daki travertenlerin oluşum türleri;

- 1) Sıkı dokulu masif traverten,
- 2) Gözenekli ve süngerimsi traverten,
- 3) Bitki dokulu traverten,
- 4) Oolitik traverten,

olarak gözlemlenmiştir. Bunlardan "bitki dokulu travertenler ile oolitik travertenler" in daha çok erime boşulları geliştirebildikleri belirtilmektedir. Travertenler deniz kıyısından iç kesimlere doğru yer yer traverten özelliğini nisbeten yitirmekte ve kilce zenginleşmekte dir.

Can Aydar ve Jean - François Dumont'un çalışmalarına göre, Antalya travertenlerinde görülen dizilmelerde üç ana çizgisellik doğrultusunun varlığı belirtilmektedir (Şekil 1).

(I) Travertenlerin kuzyet kısmında, bitkisel değişimelerle kendini gösteren ve sürekli olmayan kuzyeyodğu - güneybatı çizgisellikleri görülür.

(II) Kuzyebatı - güneydoğu çizgisellikleri travertenlerin kuzyet kısmında koyu renk bant veya çizgilerle belli olmaktadır. Bu doğrultu kuzyebatı - güneydoğu kıyı kısmından Antalya şehrinin doğusuna uzanan bir çizgi ile belirtilebilir.

(III) Kuzyey - güney çizgisellikleri daha seyrekdir, fakat çok sürekli dir. Kuzyeden güneye travertenlerden kıyıya kadar uzanmaktadır.

Bu gözlemlenen doğrultular Miyosen sonrası genç tektoniğe bağlanabilir. Travertenler içerisinde gözlenen çizgisellikler tektonik midir? Şimdiye kadar gözlemi ve tanımı yapılmış hiç bir fay yoktur. Bu karstik sirkülasyon çizgileri, traverten biçimine giren gerçek fay çizgilerini takip edebilir. Pliyo-Kuvaterner genç tektoniğe bağlanabilecek yeni faylar gerilim tektoniği nedeniyle yeraltı sularının sirkülasyonuna çok etverişlidir. Antalya travertenlerinin oluşturduğu bu gözenekli masa altında, travertenlerin hemen altında bulunan en yeni fayları takip eden su sirkülasyonu, bunlar içerisinde uzun karstik akıntı izleri halinde kendini gösterir.

Kıyı şehrindeki travertenlerin deniz tarafından aşındırılması, oyulması ve ayırtılmasının ile büyük blokların deniz tarafları desteksiz kalmakta ve bunun sonucunda sahil iç kesimlerinde kırıklär ve ayrılmalar olmaktadır. Travertenlerde erime boşulları olup, bu erime boşulları çeşitli kesimlerde mağara türü boşullarının oluşmasına neden olmaktadır. Yüzeyde söz konusu boşluk araları kırmızı renkli killere dolu görülmektedir. Antalya şehrinin zemini, birbirleri ile bağlantılı irili ufaklı mağaraların yer aldığı, kırıklär, çatlaklı, çok kompleks ve heterojen bir yapıya sahiptir.

## ANTALYA ZEMİNİNDE YÜKSEK YAPILARI BEKLEYEN RİSK

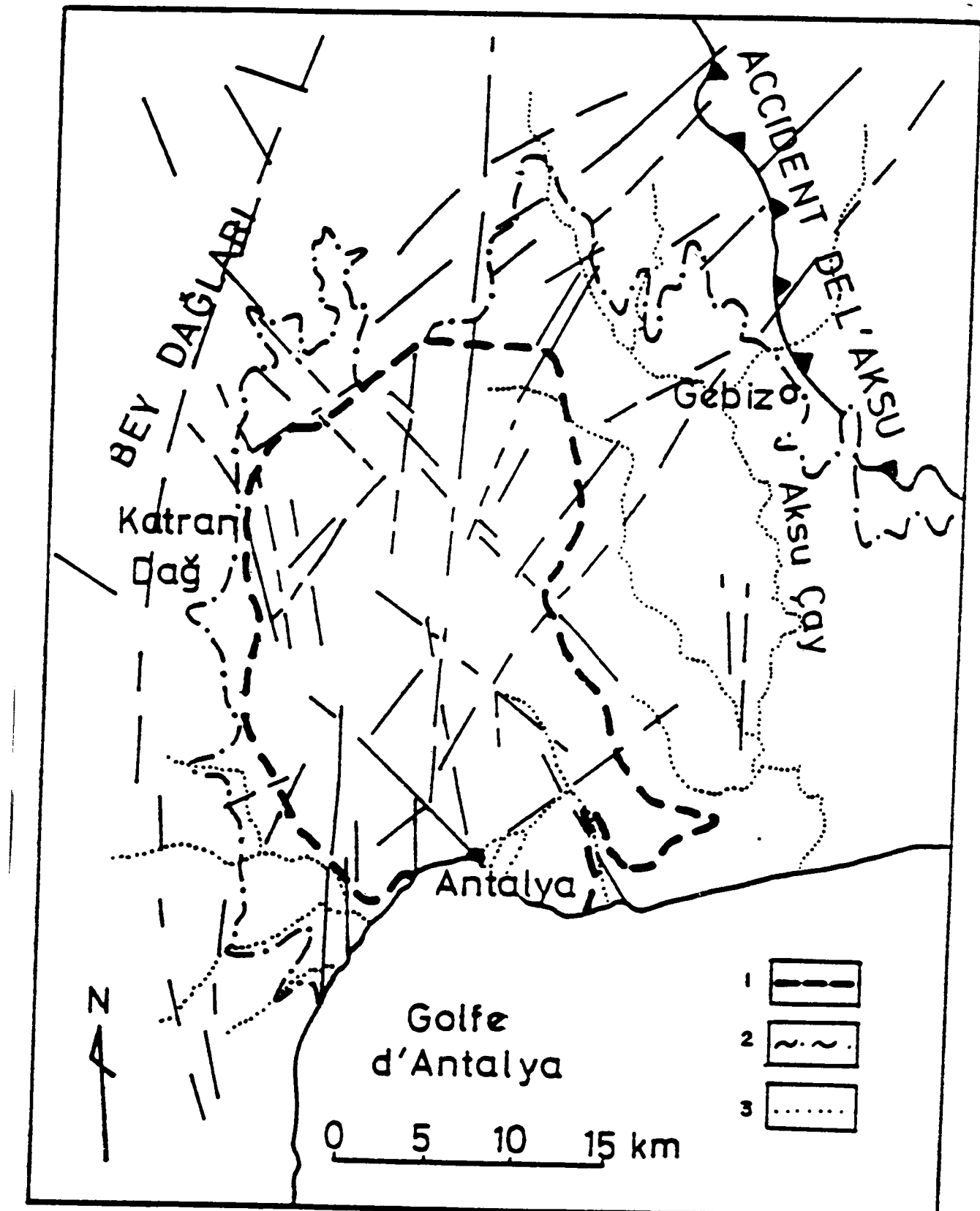
Antalya travertenlerinin oluşturduğu gözenekli masa üzerinde büyük binaların beş yıldızlı otellerin hızla artışı beraberinde zemin sorunlarını da getirmektedir. Yeraltı boşullarının geometrileri Antalya'daki Atatürk parkında görülebileceği gibi çok düzensiz olarak gelişmiştir. Yüzeyden görünmeyen bu mağara ve erime boşulları üzerine gelebilecek yüksek binalar ile yine falezdeki kırıklär, çatlaklı ve mağaraların üzerine oturacak yüksek bina ve beş yıldızlı oteller risk taşımaktadır. Yeni binaların yükselmesiyle ve zamanla bu yapılarda hasar olabilir. Sadece zemin emniyet gerilmesini küçük almak hasarı önlemek için yeterli değildir. Aksine zemin emniyet gerilmesini küçük almakla bina yükü artacağı için görünmeyen boşluk ve mağaraların tavanları daha kolay çökebilecektir. Bunun yanında travertenlerin ve kilce zengin kısımların yanal ve düşey değişimlerini içeren heterojen zeminde farklı oturmalar hasara neden olabilir. Bunun için travertenlerdeki kırıklär, çatlakları, erime boşullarının, mağaraların ve alterasyon zonlarının saptanması gerekmektedir.

Traverten falezlerinin gelişmeleri de duraysız şevlerin ve heyelanların gelişmesi gibi daima geriye yani karaya doğru olacağından, falez gerisindeki kırıklärın etüdü bu bakımından önem taşımaktadır. Falez duraylılığı için eğer varsa iç kesimlerdeki örtülü kırıklärın yerlerinin ve konumlarının saptanması gereklidir. Nitelikî eski Orduevi ve PTT binaları, falezdeki duraylılığı bozduğu için yıktırılmış ve park haline getirilmişdir.

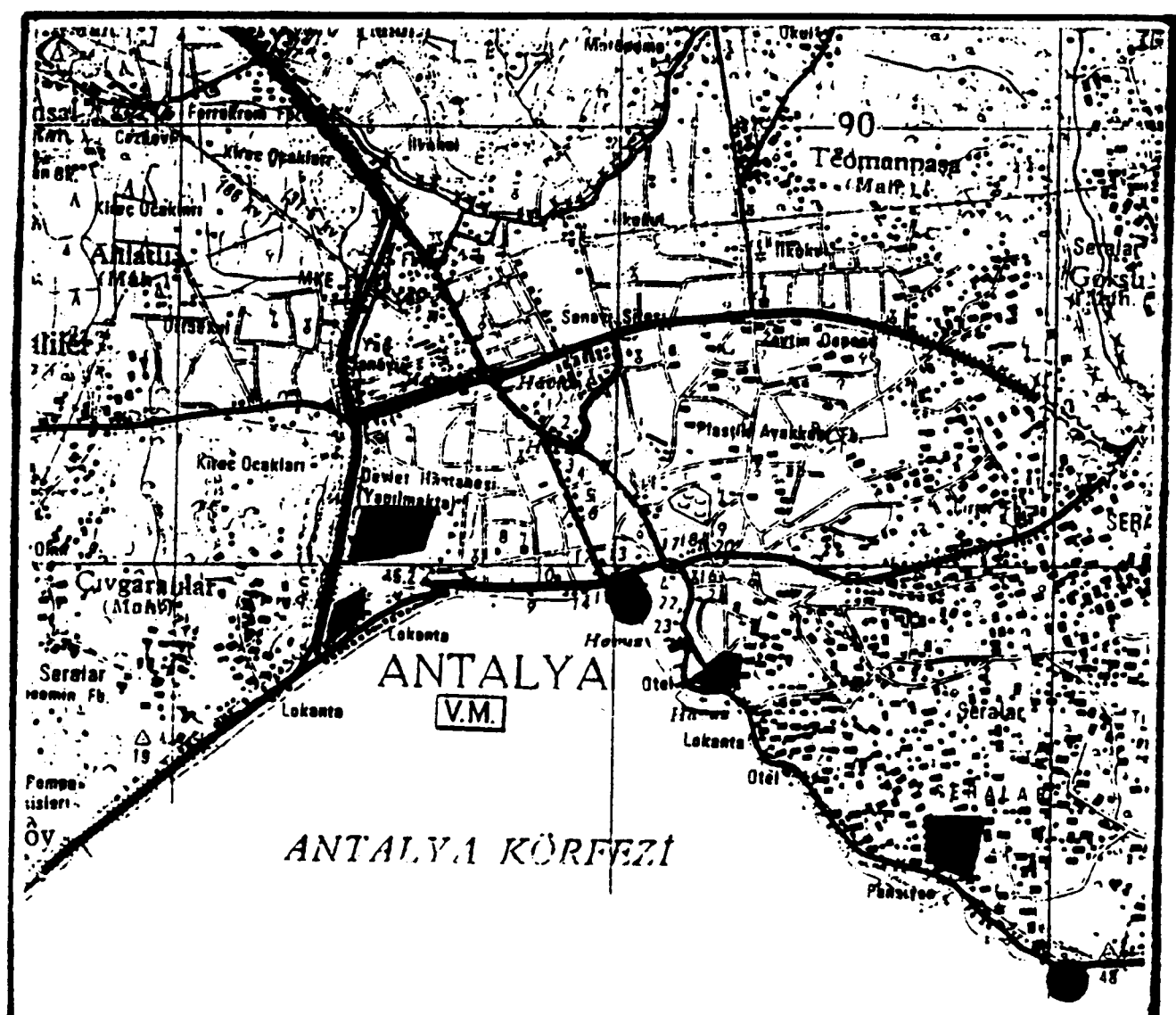
Antalya'da kanalizasyon yoktur. Her bina 20 - 30 m derinliğinde açtığı sondaj ile rastgeldiği traverten boşullarına kanalizasyonunu vermektedir. Bu durum ilerde çevre kirlemesine neden olabileceğinin gibi traverten boşluğununa bırakılan asitik atıklar, boşluk ve mağaraların genişlemesine neden olabileceğinden zamanla oturmalarla binalarda hasarlar görülebilir.

## ANTALYA ŞEHİRİNİN ZEMİN SORUNLARININ ÇÖZÜMÜ İÇİN YAPILMASI GEREKENLER

Antalya travertenlerinde; zemin emniyet gerilmesinin, zeminin elastik parametrelerinin, temel hafriyat ile zeminin sökülebilirliğinin, zeminin yapışal durumu ile mühendislik özelliklerinin saptanması gerekmektedir. Sınırlı sayıdaki mekanik sondaj ile böylesine heterojen bir zeminin mühendislik özelliklerini ve yapışal durumunu aydınlatmak olası değildir. Bu güçlüğü yemek için, jeofizik yöntemlerden sismik ve elektrik yöntemleri birlikte kullanılarak zemin emniyet gerilmesi, zeminin elastisite parametreleri, zeminin yapışal durumu ile zeminin mühendislik özellikleri saptanabilir. Bu amaçla yapılan çalışmaların yerleri Şekil 2 de görülmektedir.



**Şekil** 1. Antalya travertenleri ve civarında çizgisellik haritası. 1. Traverten sınırı; 2. Kuvaterner ve Pliyo Kuvaterner sınırı; 3. hidrografik ağ (Aydar ve Dumont 1979).  
**Fig.** 1. The map of structural zones of Antalya travertins and surrounding area. 1. Boundary of travertins; 2. Boundary of Quaternary and Plio-Quaternary; 3. Hydrographic map (after Aydar and Dumont 1979).



**Şekil 2.** Çalışma yapılan sahaların yer bulduru haritası (Ölçek 1:25000).  
**Fig. 2.** The location map of the studied areas (Scale 1:25000).

## Zemin Emniyet Gerilmesi

Bir yapının temel projesi hazırlanırken zemin taşıma gücünün ve zemin emniyet gerilmesinin göz önünde tutulması gerektiği ve bunların daha çok statik yöntemlerle belirlendiği bilinmektedir. Zemin emniyet gerilmesi kavramı, kaya ve zemin mekanığının ilk gelişimi ile birlikte tanımlanmıştır. Zemin emniyet gerilmesi uygulayıcı mühendis için oturmalar, taşıma gücü, zaman etkenleri ve zeminin heterojenliği gibi faktörleri ortadan kaldırıldığından günümüzde kadar kullanılmıştır. Bu kavramın oturma ve taşıma gücü faktörlerini içерdiği varsayılmıştır. Genel anlamıyla, zeminin nihai taşıma gücünün uygun bir güvenlik sayısına bölünmesiyle bulunan zemin emniyet gerilmesinin; yeraltısunu, arazinin heterojenliğini, çatlak sistemlerini ve özelliklerini, poroziteyi göz önüne almaması çok kaba bir kavram olduğu izlenimini vermektedir. Bu kavram, jeolojik koşulların çok iyi bilindiği ve zemin özelliklerinin birçok kez denendiği durumlarda projelendirme için faydalıdır. Yerleşim merkezlerinde taşıma gücü ile oturmaların hesaplanması yanlarında yükleme ve SPT deneylerinin yapımındaki güçlükler  $V_s$  enine dalga hızlarından yararlanmayı ön plana çıkarmıştır. E. Türker ve A. Keçeli tarafından  $V_s$  enine dalga hızlarından zemin emniyet gerilmesinin ve  $V_p$  boyuna dalga hızlarından taşıma gücünün hesaplanması için bağıntılar geliştirilmiştir. (Türker 1988).

Zemin emniyet gerilmesi ( $\sigma_e$ )

$$\sigma_e = \rho \cdot V_s \cdot \frac{T_0}{4} \text{ kg/cm}^2$$

ile taşıma gücü ( $\sigma_n$ ) ise

$$\sigma_n = \rho \cdot V_p \cdot \frac{T_0}{4} \text{ kg/cm}^2$$

olarak tanımlanabilir. burada  $\rho$  yoğunluk,  $T_0$  zemin hakim titreşim peryodudur. Bu bağıntılardan elde edilen zemin emniyet gerilmesi değerleri aynı yerdeki statik yöntemlerle elde edilen zemin emniyet gerilmesi değerleri ile büyük bir uyumluluk göstermektedir. Sismik yöntemlerle hesaplanan zemin emniyet gerilmesi değerleri güvenle ve büyük bir kolaylık içerisinde kullanılabılır.

Antalya'daki zemin etütlerinde bu yöntemle elde edilen zemin emniyet gerilmesi değerleri  $2 \text{ kg/cm}^2$  ile  $12,5 \text{ kg/cm}^2$  arasında değişmektedir. Bu değerler Yazganlar İnşaat alanında  $2 \text{ kg/cm}^2$ , Alke Oteli'nde  $2,5 \text{ kg/cm}^2$ , Bırmaş A.Ş. inşaat alanında  $2,5 \text{ kg/cm}^2$ , Cender Oteli'nde  $5 \text{ kg/cm}^2$ , Antalyaspor Mensupları Yapı Kooperatifinde  $10 \text{ kg/cm}^2$  ve Etmen Yapı Kooperatifinde  $12,5 \text{ kg/cm}^2$  civarında saptanmıştır. Etmen Yapı Kooperatifinin inşaatı buna göre projelendirilmiş ve kaba inşaatı iki sene önce tamamlanmış olan 12 katlı bu binalarda herhangi bir hasar izi görülmemektedir.

## Zeminin Elastik Parametreleri

Sismik yöntemle  $V_s$  ve  $V_p$  dalga hızlarından zemin emniyet gerilmesi saptanırken diğer elastik parametreleri (Young Modülü E, Kayma Modülü G ve Poisson oranı  $\mu$ ) elde etmek olanaklıdır.

## Temel Hafriyatı ile Zeminin Sökülebilirliği

$V_p$  boyuna dalga hızı değerleri ile kayaçların sökülebilirliği arasındaki deneysel ilişkiden yararlanarak makina parkı ve zeminin sökülebilirliği hakkında karar verilebilmektedir (Şekil 3).

## Zeminin Yapısal Durumu ve Mühendislik Özellikleri

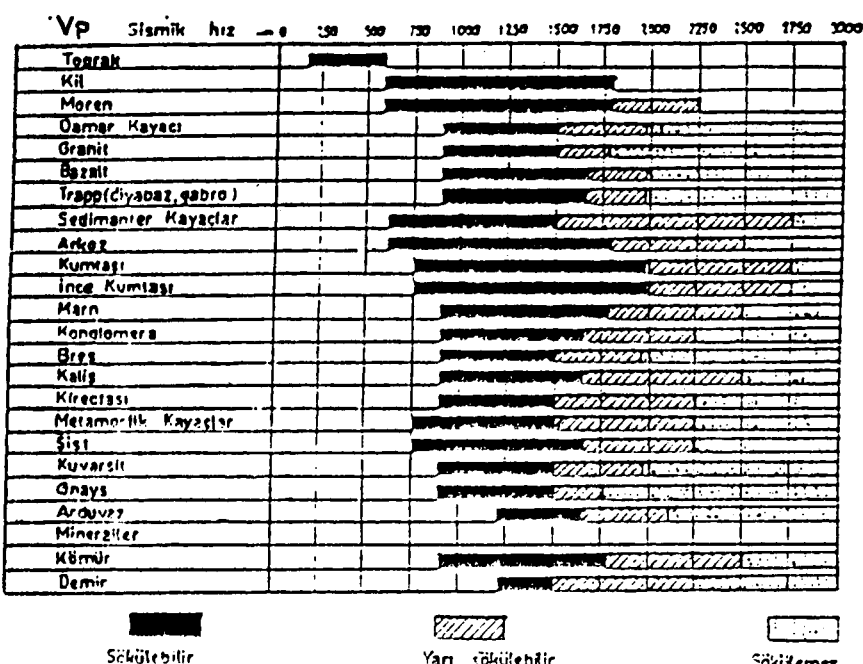
Bu amaçla sismik ve özdirenç çalışmaları birlikte yapılmıştır. Örneğin Talya Oteli bitişindeki Bırmaş A.Ş. inşaat sahasında sismik broadside (Şekil 4) ve çeşitli doğrultularda in-line çalışmaları yapılmıştır. In-line çalışmalarından W-E doğrultusundaki zaman - uzaklık grafiği Şekil 5 te görülmektedir. Şekil 4'teki broadside çalışmasında sismik hız vektörlerinin değerleri çeşitli yerlerde ve farklı ölçü noktalarında aşırı hız farklılıklar göstermektedir. Düşük hız değerlerinin varlığı zemin altının aşırı derecede kırıklı ve boşluklu olduğunu göstermektedir. Sismik hızlar kayaçların mekanik özelliklerini yansıtıldığından  $V_s$  dalga hızının  $1000 \text{ m/s}$  den küçük değerleri zayıf sağlamalıktır zemin türüne,  $V_p$  dalga hızı  $1000 \text{ m/s}$  ile  $2500 \text{ m/s}$  arasındaki değerler orta sağlamalıktır zemin türüne ve  $V_p$  dalga hızı  $2500 \text{ m/s}$  den büyük değerler ise sağlam zemin türüne tekabül eder. İnşaat zeminin altında sismik dalga hızları ( $600 \text{ m/s}$  -  $3500 \text{ m/s}$ ) arasında değerler alındığında düşük sismik hızlar bozmuş (alttere) traverten bölgelerini, orta derecede sismik hızlar ise travertenlerin kısmen alttere kısmen orta sıkılıktaki bölgeleri sahip olduğunu göstermektedir. Ortalıktaki traverten bölgeleri sürekli göstermemektedir. Şekil 5'teki in-line çalışmasına göre elde edilen zaman-uzaklık grafiği aşırı kırınlığının varlığını ve derinlere doğru bu kırıkların devam ettiğini açıkça göstermektedir.

Elastisite modülü (Young modülü) E, zeminin sağlamlığını, sertliğini, bir başka deyişle zeminin katılığını yansıtır. İnşaat alanında elastisite modülünün ( $767 \text{ kg/cm}^2$  -  $29925 \text{ kg/cm}^2$ ) arasında değerler olması yine bu zeminin zayıf sağlamalıktır bir zemin olduğunu belirtir. Örneğin, betonun elastisite modülü değeri ( $100\,000 \text{ kg/cm}^2$  -  $300\,000 \text{ kg/cm}^2$ ) arasında ve granitin ise  $500\,000 \text{ kg/cm}^2$  civarında olduğu bilinmektedir. Bu örnekler göre inşaat alanının elastisite değerlerinin düşük olduğu anlaşılmaktadır. İnşaat alanı için dinamik kayma modülünün ( $265 \text{ kg/cm}^2$  -  $11\,250 \text{ kg/cm}^2$ ) arasında değerler olması zeminin yanal kuvvetlere karşı dayanıklığının zayıf olduğunu belirtmektedir.

Yukarıda sözü edilen sismik hızların ve dinamik elastisite parametrelerinin inşaat alanı altındaki dağılımları izlediğinde travertenlerin üç boyutlu olarak, yani düşey ve yanal doğrultularda kısa aralıklarda mekanik özelliklerinin farklılaşma gösterdiği anlaşılmaktadır.

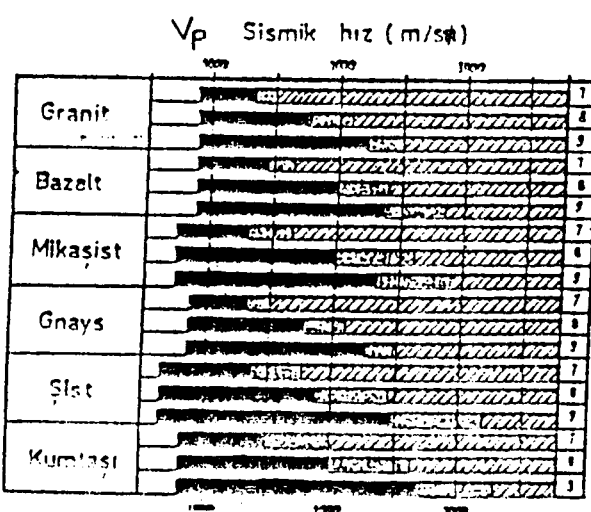
İnşaat zemininin altındaki travertenlerin yanal ve düşey doğrultularda elektrik akımı iletim özellikleri bu noktaların ayrışma ve bozulma özelliklerini, yani bloklaşmalı, kırıklı, mağara türü boşluklu ve gözenekli yapının su, kıl veya hava ile dolu olup olmadığını yansıtması bakımından ve ayrıca sismik çalışmaya korelasyon için özdirenç ve etkisel kutuplaştırma % frekans etkisi (EIP) ölçülerini almıştır. Bu ölçüler düşey elektrik sondaj (DES) ve profil ölçüsü şeklärindedir. Elektrik özdirenç değerleri (Şekil 6 ve Şekil 8) kırık hattını varsa boşlukları ve kıl, silt, kum bakımından katmanlaşma özelliğini saptamak için, EIP ise (Şekil 7 ve Şekil 9) söz konusu ortamların traverten alterasyonu miktarını, su muhtevasını ve konsolidasyon durumunu yansıtması bakımından uygulanmıştır.

Ozdirenç ve EIP değerlerine baktığımızda sismik çalışmaya paralel heterojen bir yapı görülmektedir. Prensip olarak sağlam ve sıkı travertenlerin elektrik akımı iletimleri zayıf olacağından özdirenç değerleri de yüksek olacaktır. Altıda olmuş travertenlerin bir miktar ıslak kıl içermeleri nedeniyle elektrik akımını iyi iletmemeleri sonucu özdirenç değerlerinin küçük olması gereklidir. Traverten boşlukları ise özellikle mağara türü durumlarda elektrik akımı havadan iletilemeyeceği için çok yüksek özdirenç değerlerinde olması gereklidir. Bu nedenle inşaat sahası zemininde elde edilen yüksek özdirenç değerleri sağlam traverten bölgelerine, düşük özdirenç değerleri



Ölçek bir dişli hidrolik ripperle donatılmış 320 HP gücündeki çekici için geçerlidir.

- 1- 380 HP lik bir çekiciye monte edilmiş bir dişli ripper için yukarıdaki rakamlar %10 artıtırlacaktır.
- 2- 230 HP lik bir çekiciye monte edilmiş bir dişli ripper için rakamlar %15 azaltılacaktır.
- 3- Yarı sökülebilir durumda ripperin kullanımını röntobl değildir, bu durumda, -ya ripper yardımcı bir çekici ile donatılmalı veya kazılacak kayacı çatlatmak için hafif patlatmalar yapılmalıdır.



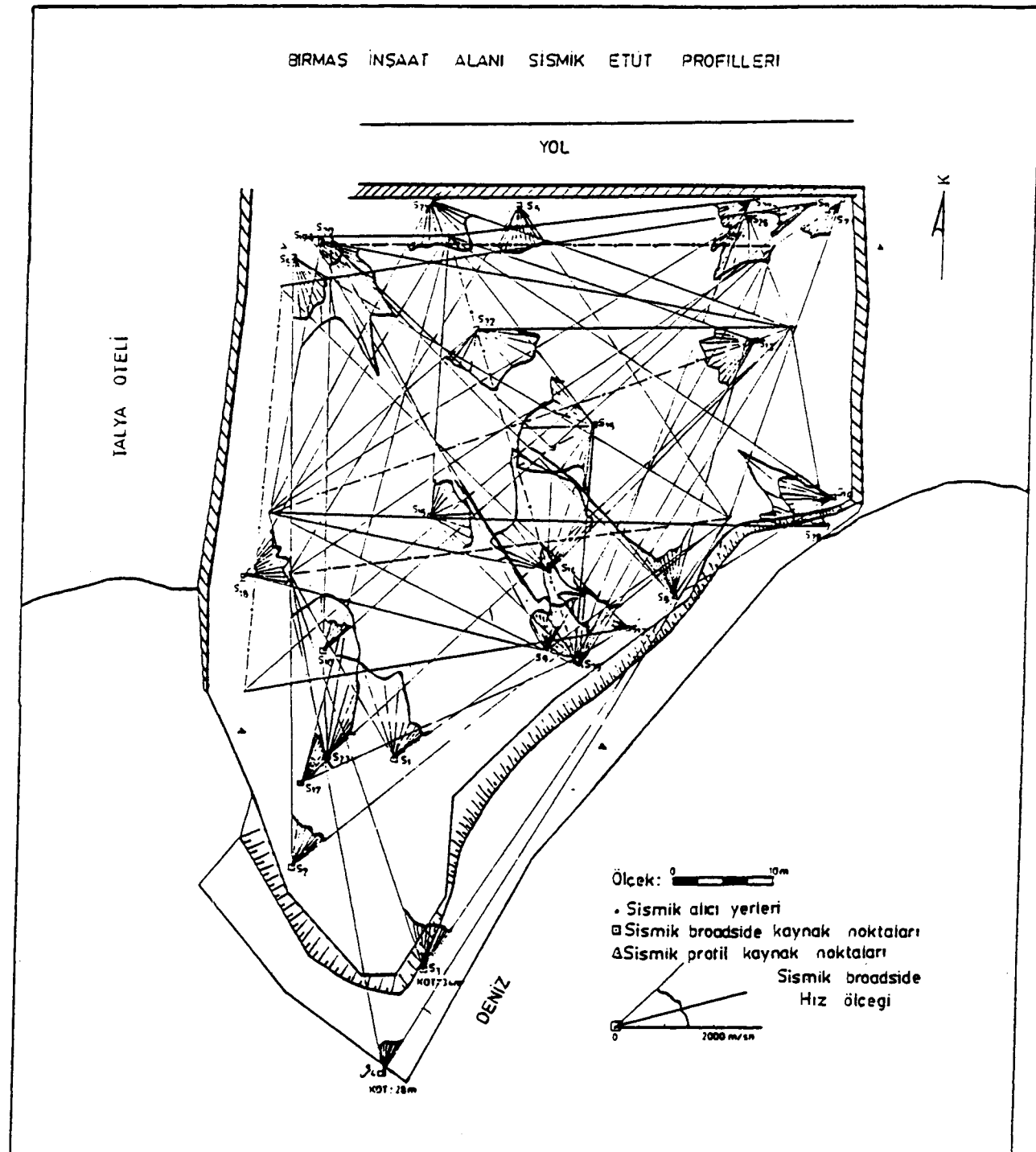
Sökülebilir      Yarı sökülebilir      Sökülemez

7: Ripper 7-8 (1 dişli, 185 HP); 9: Ripper 8-9 (1 dişli, 280 HP)

9: Ripper 9-8 (1 dişli, 300 HP); 1946 Caterpillar, dökümelerim göre)

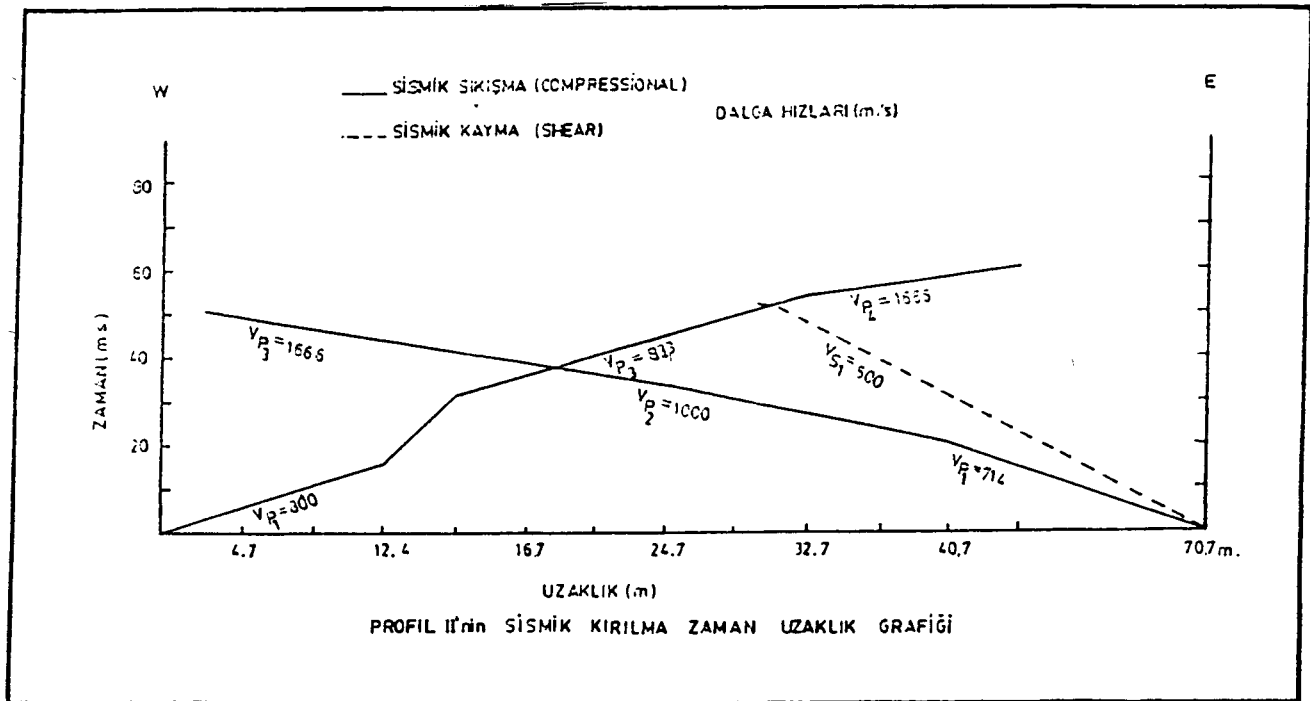
Şekil 3. Sismik hızlarla ilgili kazılabilirlik çizelgesi.

Fig. 3. Typical chart of ripper performance related to seismic wave velocities.

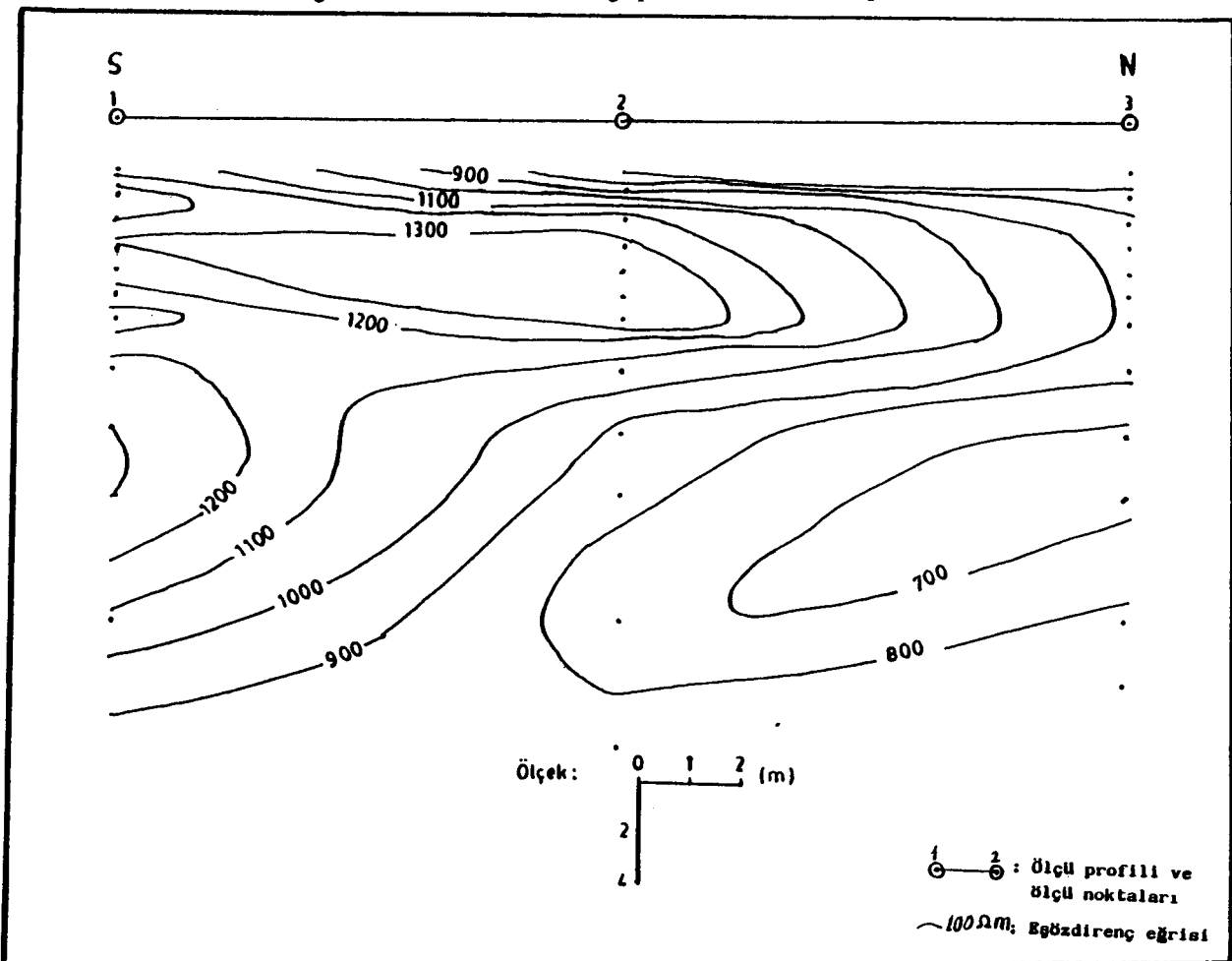


**Şekil 4.** Bırtaş inşaat alanında yapılan sismik profilleri (broad-side ve in-line).

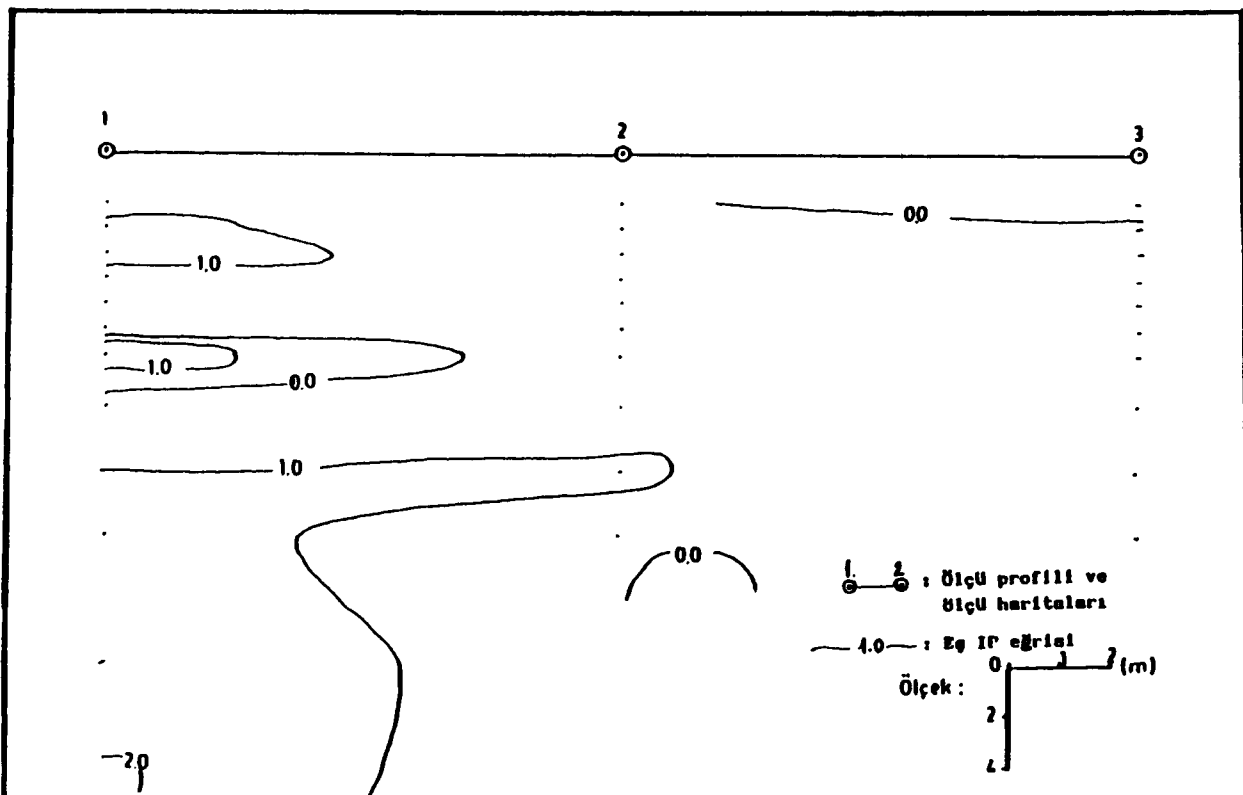
Fig. 4. Seismic profiles conducted (broad-side and in-line) at the Birmas construction area.



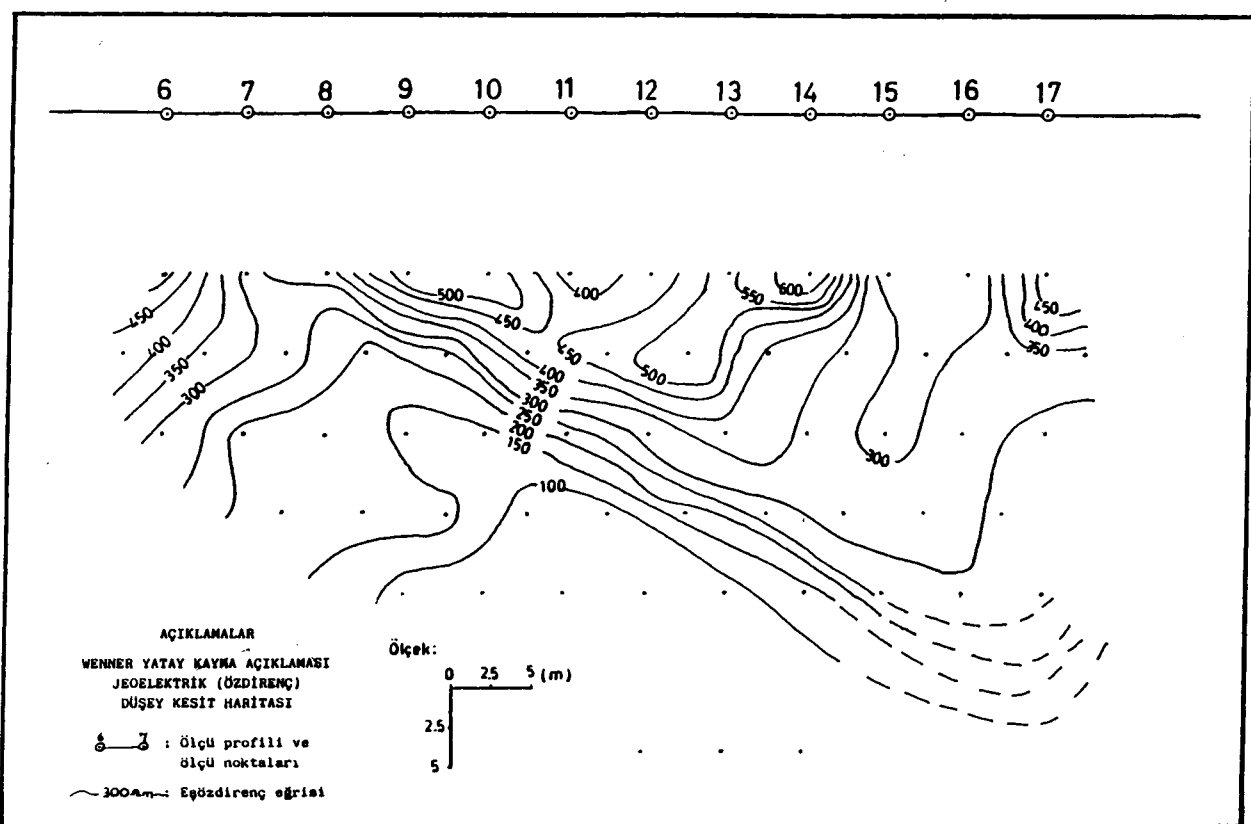
Şekil 5. Profil II'nin sismik kırılma zaman-uzaklık grafiği.  
Fig. 5. Travel time-distance graph of seismic refraction profile II.



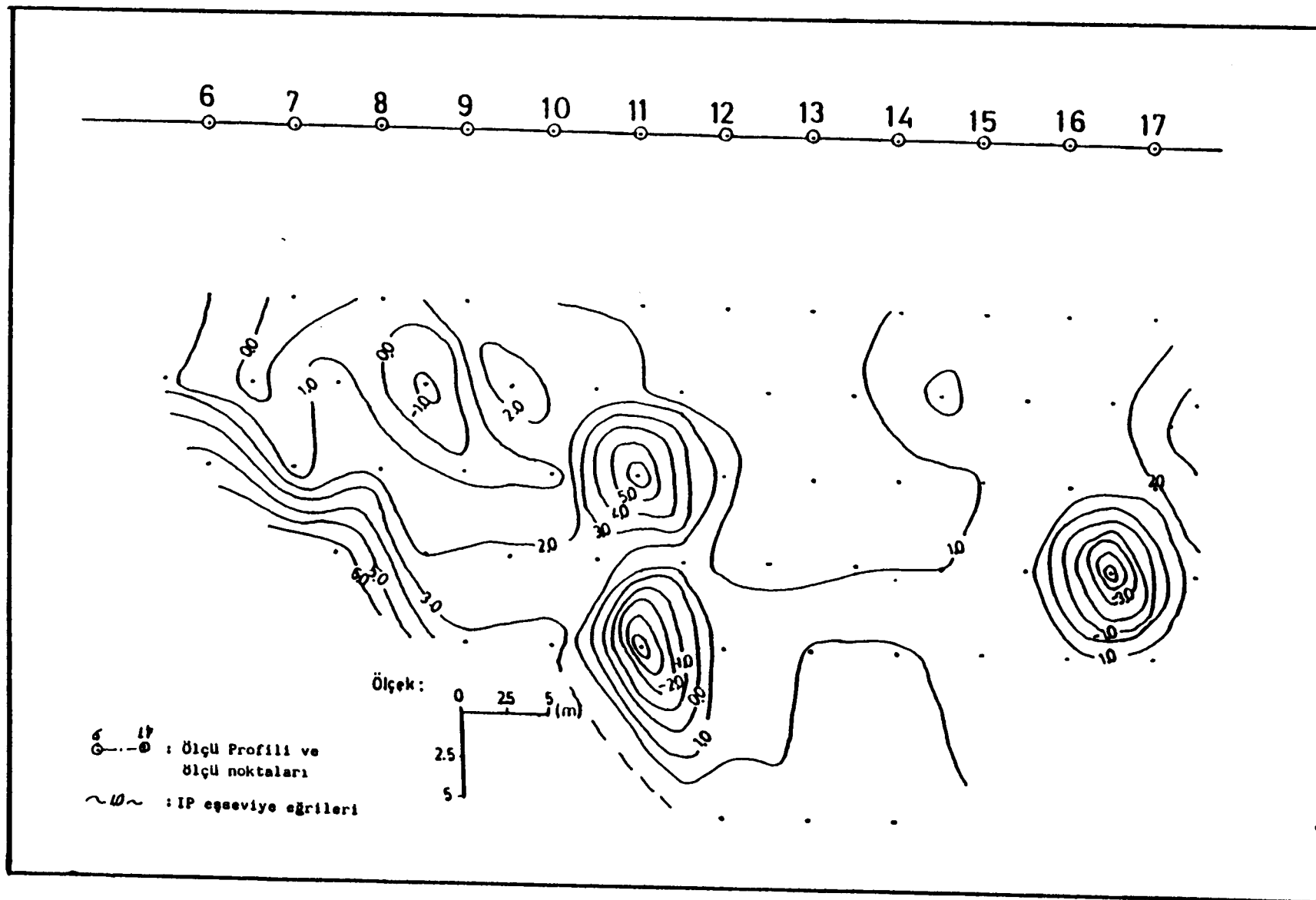
Şekil 6. Görünür özdirenç kesiti.  
Fig. 6. Apparent resistivity pseudosection.



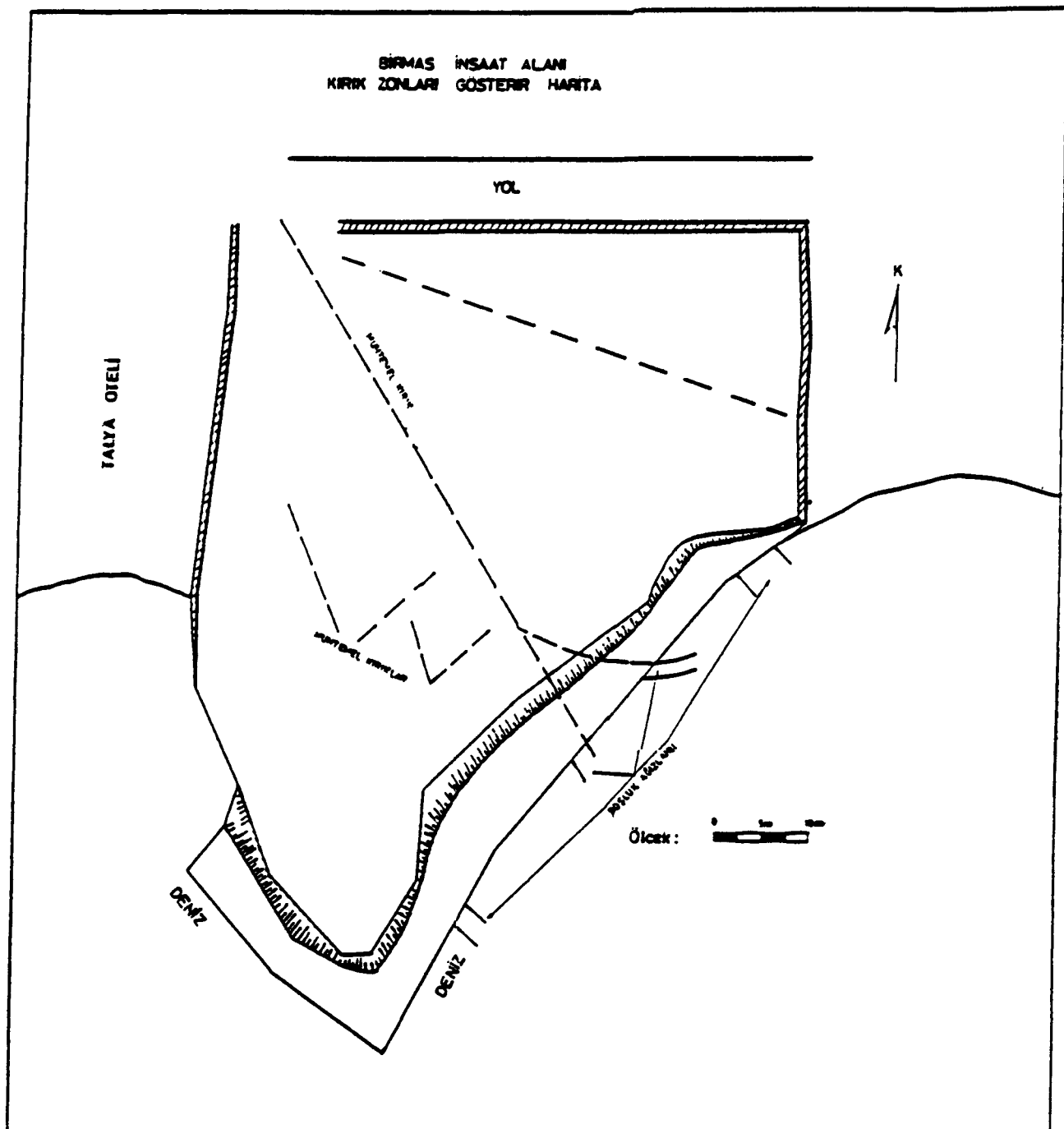
Şekil 7. Görünür frekans etki kesiti.  
Fig. 7. Apparent frequency effect pseudosection.



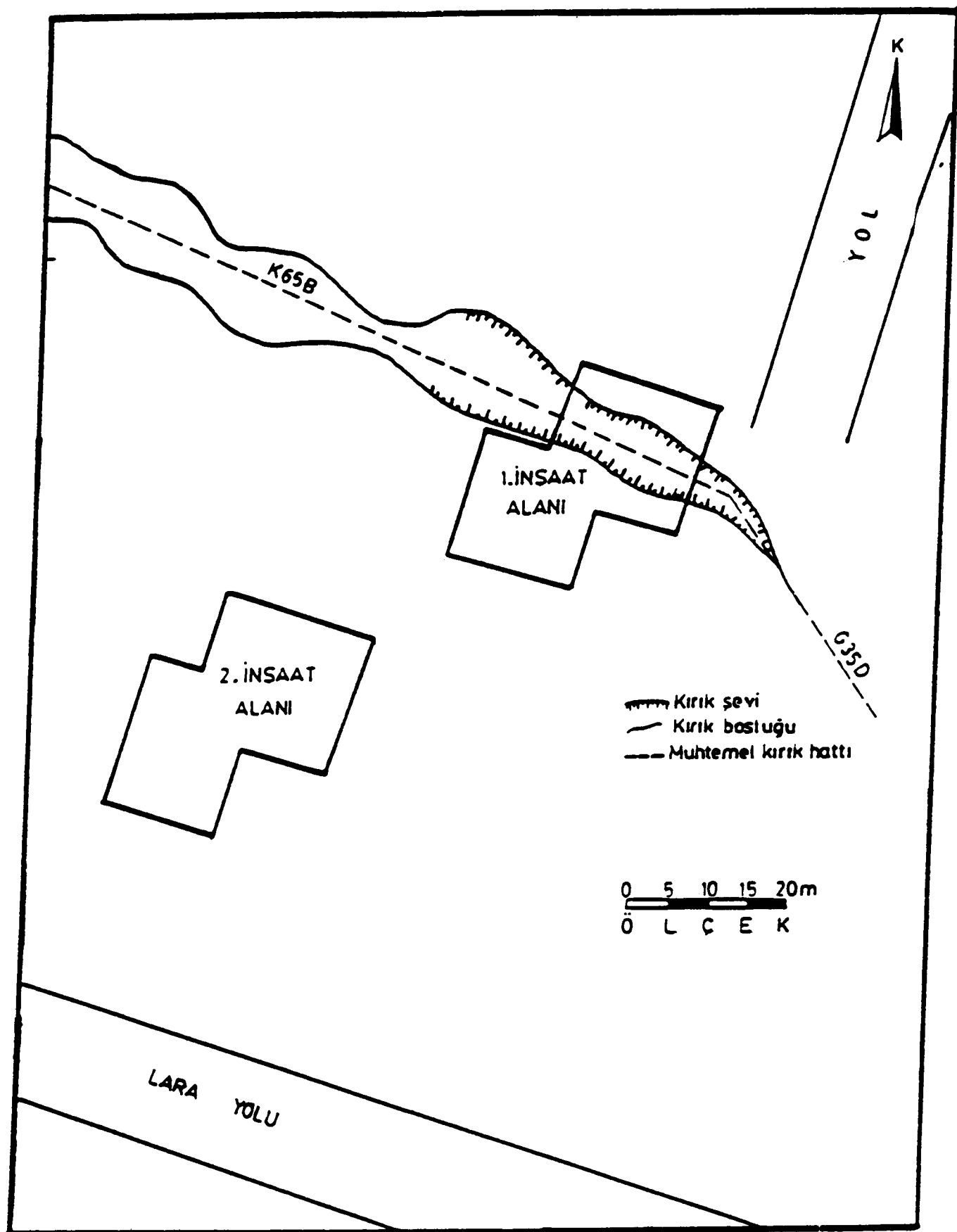
Şekil 8. Görünür özdirenç kesiti (Wenner).  
Fig. 8. Apparent resistivity pseudosection (Wenner).



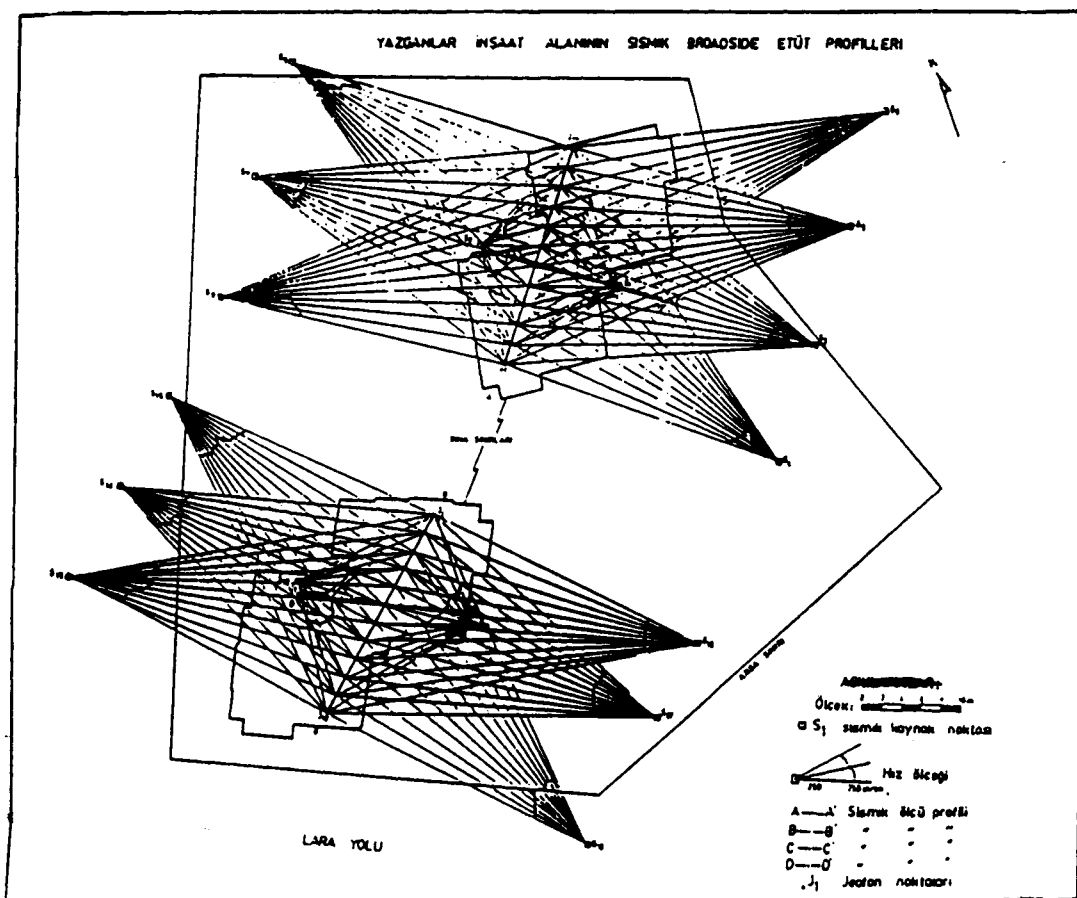
Şekil 9. Görünür frekans etki kesiti.  
Fig. 9. Apparent frequency effect pseudosection.



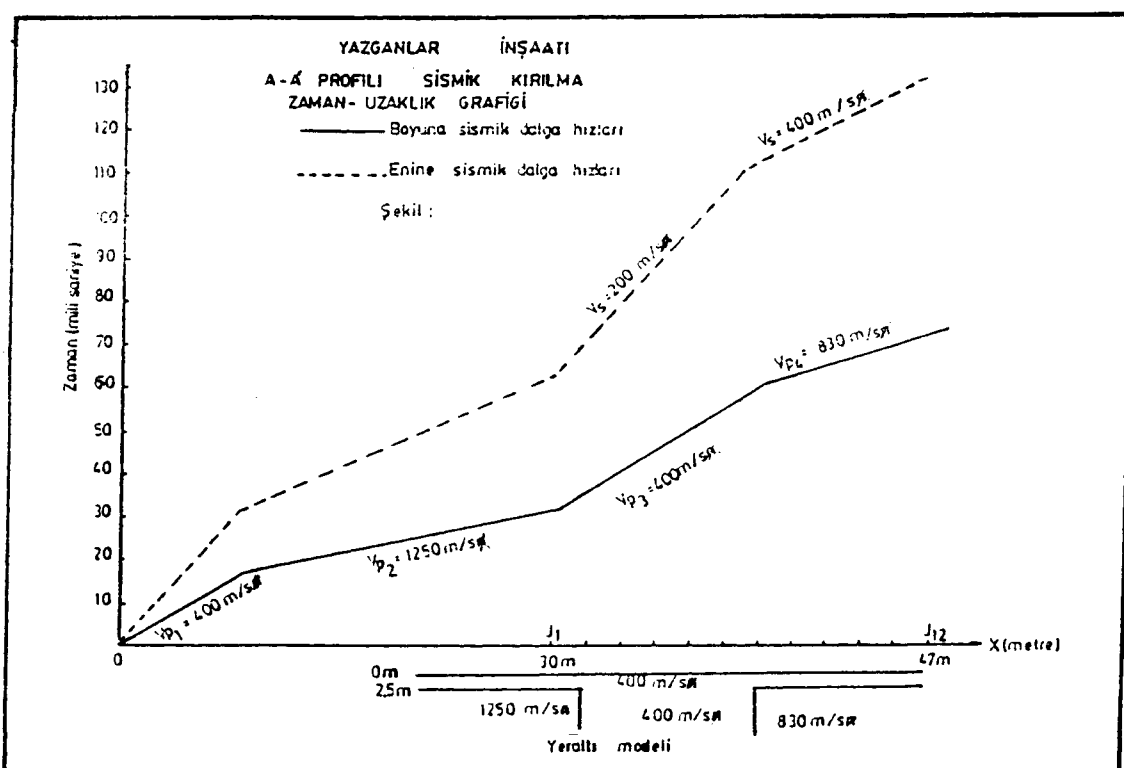
Şekil 10. Bırmaş inşaat alanı kırık zonlarını gösterir harita.  
Fig. 10. Faults zones map of the Bırmaş construction area.



Şekil 11. Yazganlar inşaat şirketi inşaat sahaları  
Fig. 11. Yazganlar Construction area

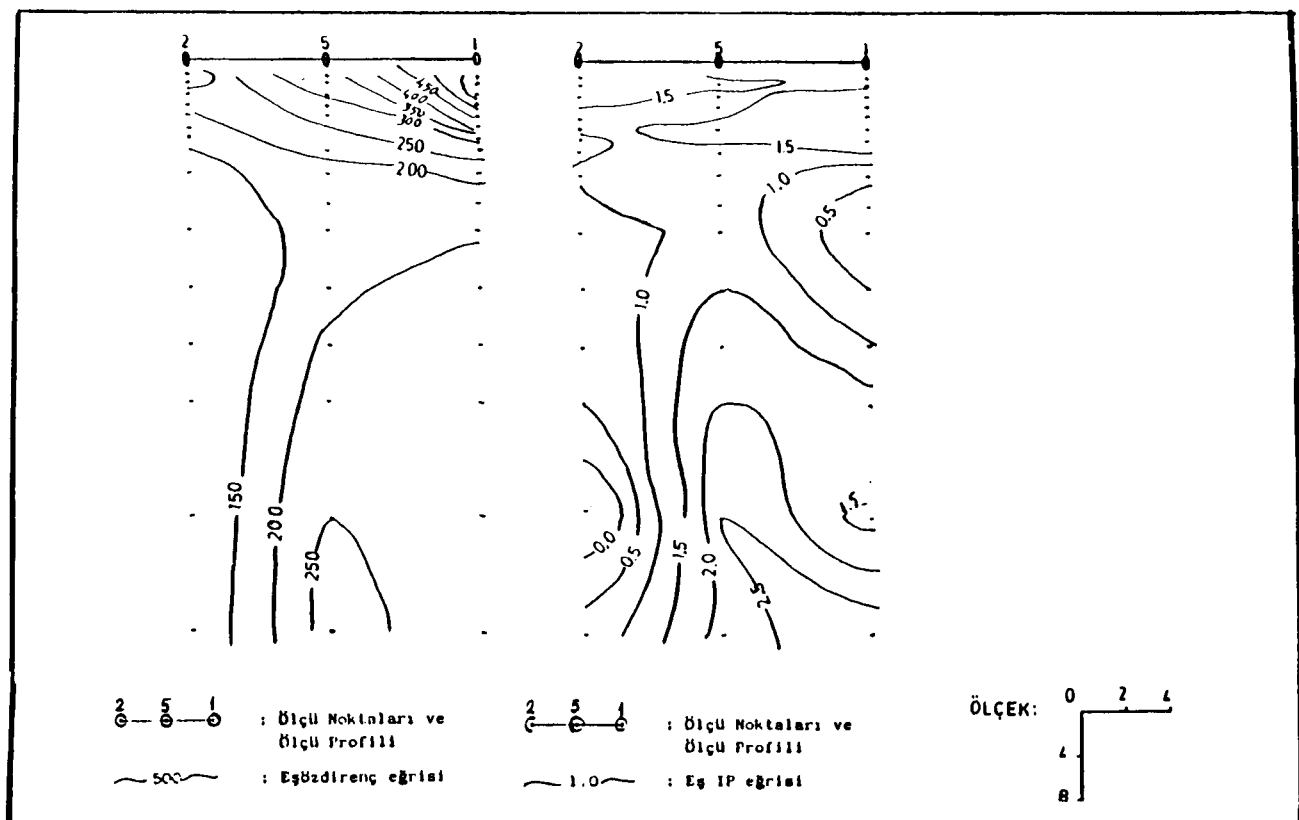


Şekil 12. Yazganlar inşaat alanında yapılan sismik etüt profilleri (broad-side ve in-line).  
Fig. 12. Studied seismic profiles (broad-side and in-line).

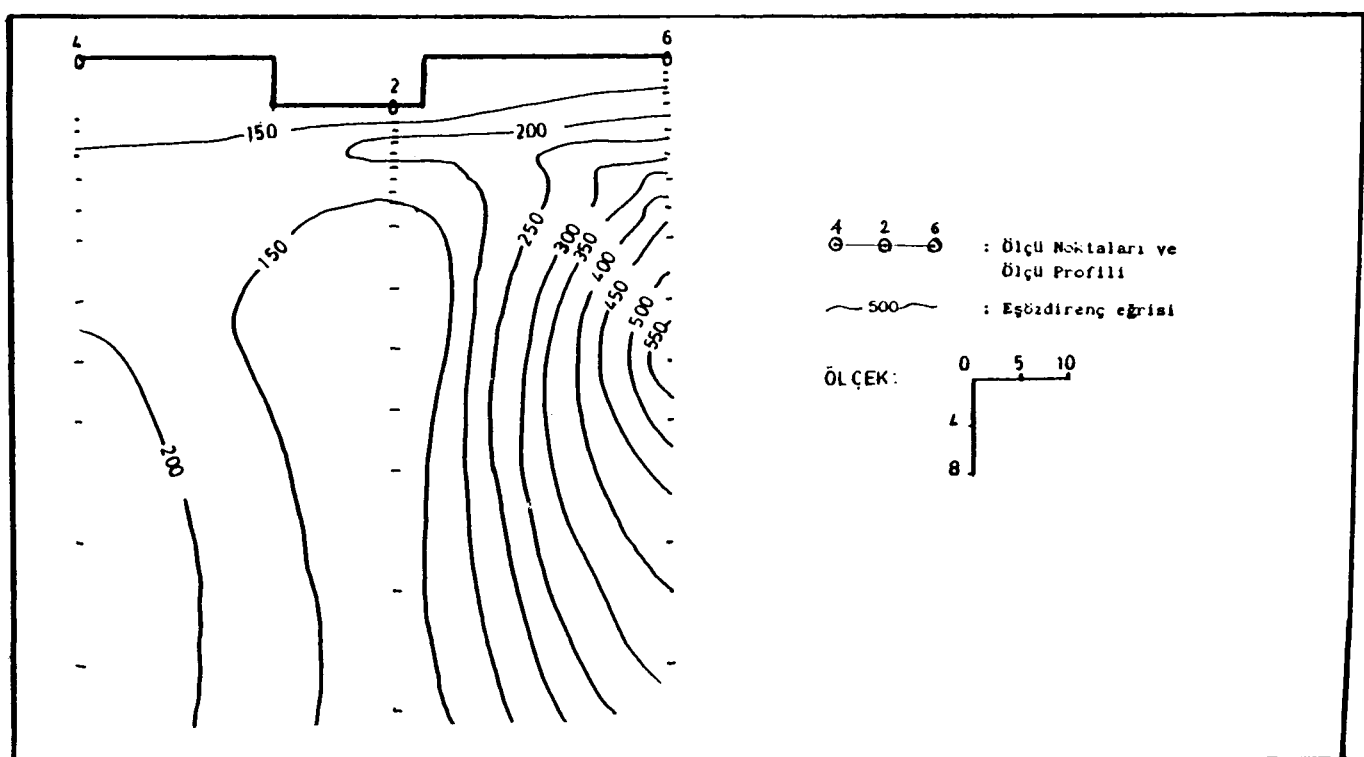


Şekil 13. Yazganlar inşaat alanı A-A' profili sismik kırılma zaman - uzaklık grafiği  
Fig. 13. Traveltime - distance graph of A-A' seismic refraction profile.

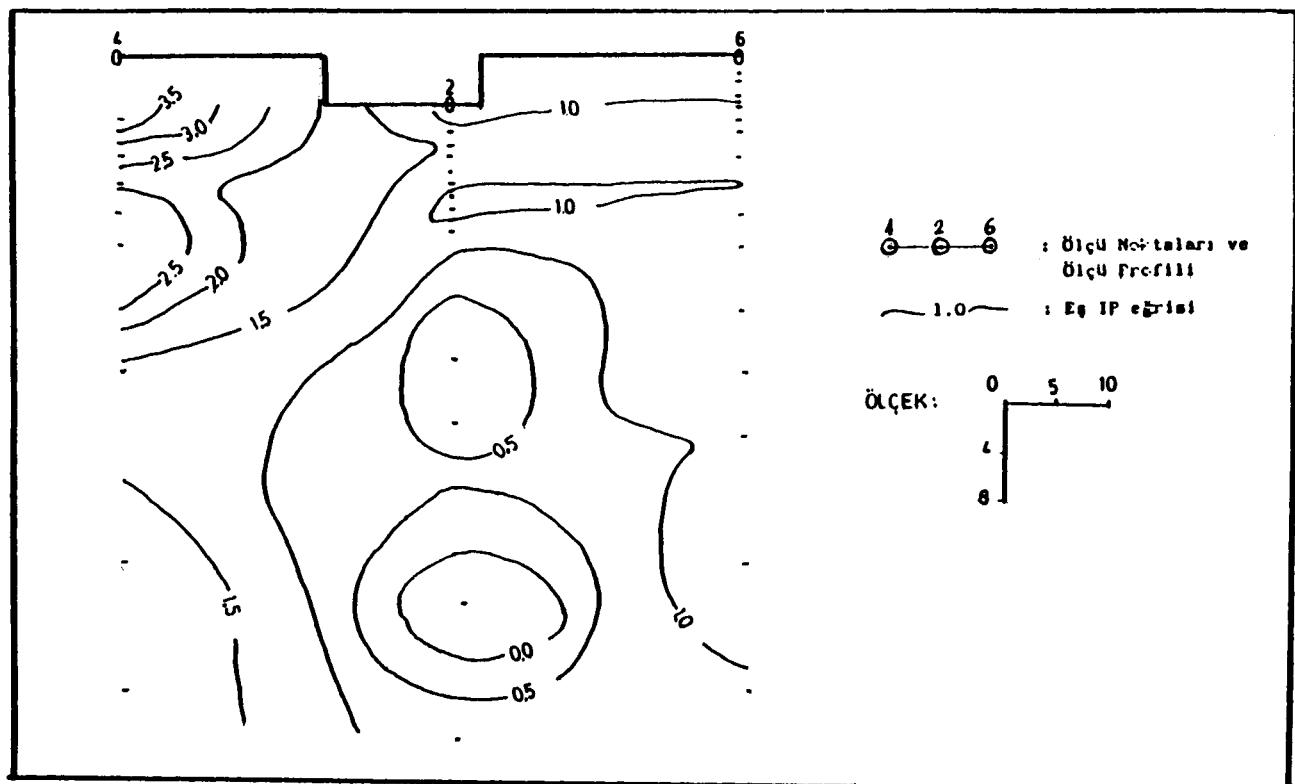
## Türker ve diğ.



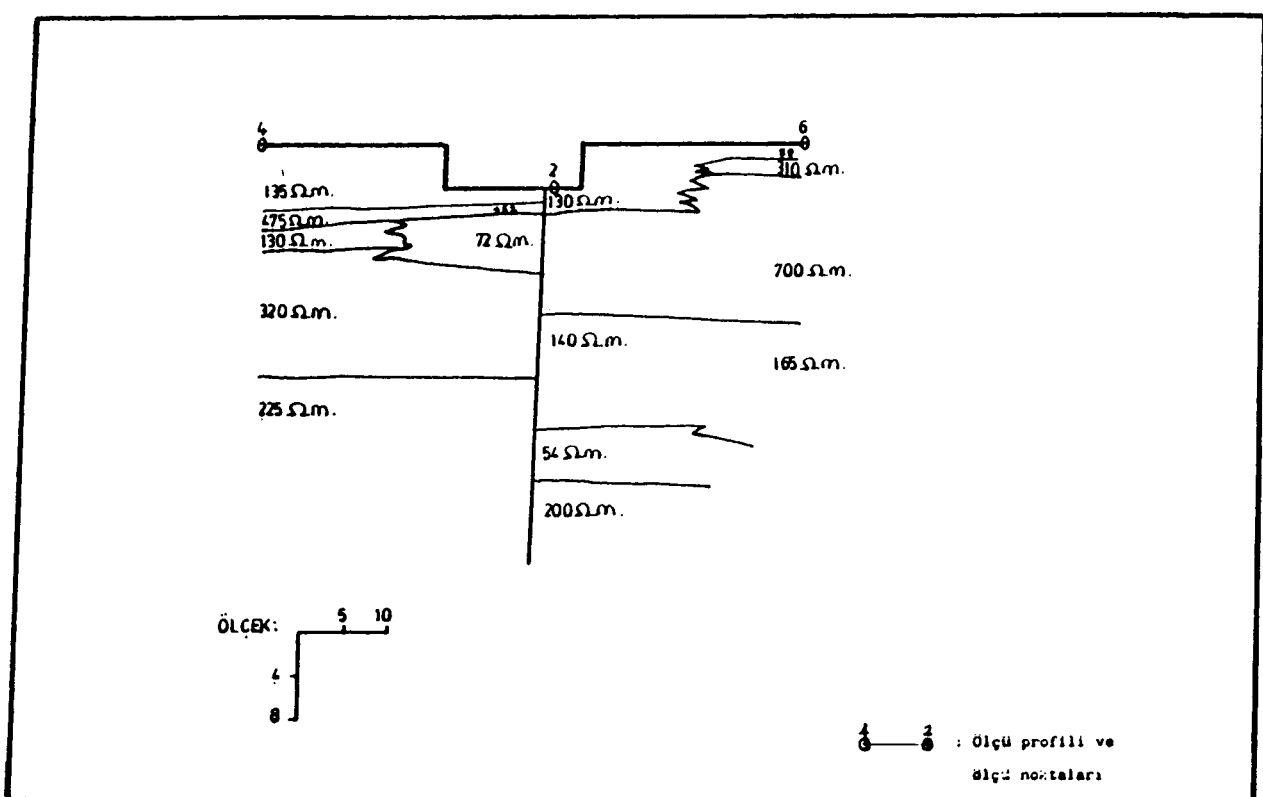
Şekil 14. Görünür özdirenç ve frekans etki kesiti.  
Fig. 14. Apparent resistivity and frequency effect



Şekil 15. Görünür özdirenç kesit.  
Fig. 15. Apparent resistivity pseudosection.



Şekil 16. Görünür frekans etki kesiti.  
Fig. 16. Apparent frequency effect



Şekil 17. Yorumlanmış jeoelektrik kesit.  
Fig. 17. Interpreted geoelectric section.

ise gevşek ve ıslak, altere traverten bölgelerine karşılık gelmektedir.

Özdirenç, EIP ve sismik çalışmalar sonucunda ortaya çıkan kırılan fay ve kırıklar (Şekil 10) da görülmektedir. Bilindiği gibi, yeraltısu etkisindeki fay zonlarında genellikle düşen blok diğer bloka göre düşük özdirenç ve yüksek EIP gösterir. Fakat Antalya'nın kendine özgü jeolojik koşullarından dolayı bunun tersi bir durum vardır ve kırık zonları böylece saptanmaktadır. Fayın veya büyük kırığın kuzey blokunda özdirenç değerlerinin düşük, EIP değerlerinin ise büyük olması kırık zonundaki kilin kırık çatlaşmasını tamamen doldurmuş olması nedeniyle kuzey-güney doğrultusundaki su akımına karşı bariyer oluşturduğunu ortaya koymaktadır. Bu nedenle kuzey blokta su birikintisi düşük özdirenç ve büyük EIP değerleri yaratmaktadır. Güney blokta ise açıklanan nedenle kuzey bloka göre daha az su ile beslendiği ve sahile yakınlığı ile daha kolay direnç olabildiğinden daha az su içeriği nedeniyle yüksek özdirenç ve düşük EIP değerleri vermektedir. Yine bu açıklanan nedenlerden dolayı ana kırığın kuzey blokundaki altere traverten bölgeleri daha çok kil içermekte ve güney bloku ise drenajla kil taşıması sonucu daha az kil içermektedir. Dolayısıyla ana kırığın güneyindeki blokun falezinde erime boşlukları ve mağara türü boşluklar açıkça görülmektedir. Yukarıda sözü edilen ve Şekil 10 da görülen kırıklar boyunca boşluklar gelişmiş olabilir.

Örneğin Lara yolunda Yazganlar İnşaat Şirketi inşaat sahasında (Şekil 11) yapılan özdirenç, EIP ve sismik çalışmalarla sorun çözümlenmiştir. Şekil 12 deki broadside çalışması heterojen bir yapıyı göstermektedir. In-line çalışmasından düzenlenen sismik kırılma zaman - uzaklık grafiği (Şekil 13) kırıkların varlığını ortaya koymaktadır. Özdirenç (Şekil 14, şekil 15, Şekil 17) ve EIP (Şekil 14, Şekil 16) heterojeniteyi ve kırık yapısını ortaya koymaktadır. Sismik hızların yüksek olduğu yerlerde yüksek özdirenç sismik hızlarının düşük olduğu yerlerde düşük özdirenç ve düşük EIP değerinin elde edilmesi nedeniyle inşaat zemininin altında mağara türü çok büyük bir boşluk bulunmadığı anlaşılmaktadır. Tüm inşaat alanı altında gerek sismik hız, gerekse elastisite parametreleri, ayrıca özdirenç ve EIP değerlerinin dağılımlarının farklı yerlerde farklılıklar göstermesi heterojeniteyi belirtir.

Kırık üzerinde yer alan inşaat sahasında büyük bir boşluk görülmemektedir. Kırığın kuzey ve güney bloklarındaki durum yukarıda Bırmaş A.Ş. inşaat sahasında açıklanan duruma benzemektedir.

## SONUÇ

Antalya'da yer alan travertenlerde mağara oluşturabilecek kadar çeşitli erime boşlukları, kırık, çatlağ ve bozusma zonları bulunmaktadır. Böyle heterojen ortamlarda bir inşaat zemininde yapılacak sınırlı sayıdaki mekanik sondaj numunelerinden zeminin yapısal durumunu ve mühendislik özelliklerini gereği gibi aydınlatmak mümkün olmayabilir. Yüksek yapılar hasara uğrayabilir. Özellikle taneli zemin özelliği olan yeraltısu yuna doygun Arapsuyu mevkiinde ve traverten alterasyonlarının yaygın olduğu Lara dolaylarında mekanik sondaj ile zeminin yapısal durumunu ve mühendislik özelliklerini sağlıklı olarak saptamak zordur. Ayrıca zemin emniyet gerilmesi değerini küçük almak mağara boşluklarının üzerinde gelen inşaatlarda hasarı önlemek için yeterli değildir. Bu nedenlerle zeminin yapısal durumunu ve mühendislik özelliklerini, zemin emniyet gerilmesini ve zeminin elastisite parametrelerini verebilmesi bakımından jeofizik yöntemlerden sismik ve jeoelektrik yöntemlerin birlikte kullanılması Antalya zemininin sorunlarını çözümlemek için en sağlıklı jeoteknik etüt yöntemleridir.

Antalya belediye sınırlarını içeren yerlerin jeoteknik haritalarının yapılmasında büyük yarar vardır.

## KAYNAKLAR

- Keçeli, A., Köseoğlu, M., Kamacı, Z. ve Kaya, M.A. 1987, Üçler Etmen Yapı kooperatifİ İnşaat Sahası Zemin Etüdü.
- Keçeli, A., Türker, E., Kamacı, Z. ve Kaya, M.A. 1988, Alke Oteli Zemin Etüdü.
- Keçeli, A., Türker, E., Köseoğlu, M., Kamacı, Z., ve Kaya, M.A. 1988, Falez İnşaat, Turizm ve Ticaret A.Ş. İnşaat Sahası Zemin Etüdü.
- Keçeli, A., Türker, E., Kamacı, Z. ve Kaya, A. 1988, Akdeniz Üniversitesi Öğretim Üyeleri S.S. Konut Yapı Kooperatifİ Zemin Etüdü.
- Keçeli, A., Türker, E., Kamacı, Z. ve Kaya, A. 1988, S.S. Antalyaspor Mensupları Yapı Kooperatifİ Zemin Etüdü.
- Keçeli, A., Türker, E., Kamacı, Z. ve Kaya, A. 1989, Cender Oteli İnşaat Sahası Zemin Etüdü.
- Keçeli, A., Türker, E., Kamacı, Z. ve Kaya, A. 1989, Yazganlar İnşaat Şirketi Zemin Etüdü.
- Keçeli, A., Türker, E., Kamacı, Z. ve Kaya, A. 1989, Bırmaş A.Ş. İnşaat Sahası Zemin Etüdü.
- Aydar, C. ve Dumont, J.F. 1979, Antalya Travertenlerinde Görülen Dizilimelerde Elde Edilen Landsat Görüntüleri Üzerinde Yapılan Gözlemler.
- Türker, E. 1988, Zemin Taşıma Gücünün Sismik Yöntemlerle Saptanması (Doktora Tezi).